

白地霉的氧化代谢*

张树政 楊廉婉

(中国科学院微生物研究所,北京)

三羧酸循环在动物组织中的普遍存在是早已确定了的,但在微生物中三羧酸循环的证实开始时遇到了一些困难。微生物完整细胞多不能氧化外加的三羧酸循环的中间体。现在知道这主要是由于细胞透过障碍造成的。Kornberg^[1]在综述中指出:在很多种微生物特别是好氧的细菌中,已经确定了三羧酸循环作为主要的末端呼吸途径,关于霉菌的工作则相当少^[2-7],关于白地霉的工作,尚未见报导。最近 Kornberg 等^[8,9]又提出在微生物中还有乙醛酸循环作为三羧酸循环的补充。我们过去的工作^[10]指出白地霉中有 EMP 及磷酸戊糖循环途径,本工作为前一工作的继续,指出在白地霉无细胞提取液中有三羧酸循环及乙醛酸循环的一系列的酶存在。

一、材料和方法

菌种及其培养: 菌种为本所保藏的白地霉 (*Geotrichum candidum* Link 2.361)。培养方法见以前报导^[11]。

静息细胞悬液及无细胞提取液的制备 与过去所用方法^[11]相同,如有不同,另行说明。

酶活力测定法 三羧酸循环中间体及有关化合物的氧化以及有消耗 O₂ 或放出 CO₂ 的酶反应,用普通瓦氏呼吸计进行。联系 NAD 或 NADP 的脱氢酶用 Hilger 分光光度计测定在 340 毫微米波长处光密度的变化,各个酶的测定方法详见后述。

试剂 乙醛酸按 Weinhause 等^[12]的方法制备,并制成 2,4-二硝基苯腙衍生物,由乙醇水重结晶三次,融点 190°C (文献 190°C)。顺乌头酸酐由反乌头酸与乙酸酐反应制备^[13],融点 78—79°C (文献 76—77°C),用时溶于水转化为顺乌头酸,并以 NaOH 中和。NAD、NADP、CoA 为中国科学院生化所东风生化试剂厂出品,其他试剂均系商品。

分析方法 蛋白质用双缩脲法测定^[14],柠檬酸用仓富等^[15]的方法测定,乙醛酸用 Friedemann 和 Haugen 的方法测定,为了避免其他酮酸的干扰,按 Olson^[16]利用乙醛酸所呈的颜色对热不稳定的性质,以热处理前后光密度之差代表乙醛酸。用乙醛酸 2,4-二硝基苯腙作标准曲线。苹果酸用萤光法测定^[17]。

二、结果

(一) 完整静息细胞对三羧酸循环中间体的氧化

完整静息细胞对各种有机酸及乙醇的氧化情况见表 1。由实验 I 看出,乙醇氧化速

* 任永娥同志参加部分技术工作,林应锐同志合成顺乌头酸酐,在试验进行中得到方一澄、王惠莲等同志的帮助,特此一并致谢。

1) 本文采用以下简写: EMP = Embden-Meyerhof-Parnas 糖酵解途径。 NAD = 辅酶 I。 NADH₂ = 还原辅酶 I。 NADP = 辅酶 II。 CoA = 辅酶 A。 ATP = 腺三磷。 EDTA = 乙二胺四乙酸。 A = 光密度。

本文 1963 年 8 月 15 日收到。

表 1 白地霉对三羧酸循环有关的各种有机物的氧化

实验号	底 物	$\dot{Q}_{O_2}^*$
I	乙醇	59.3
	丙酮酸钠	34.9
	乙酸钠	30.0
	草酰乙酸钠	24.3
	琥珀酸钠	7.7
	乳酸钠	5.9
	延胡索酸钠	4.5
	α -酮戊二酸钠	4.2
	苹果酸钠	3.5
II	柠檬酸钠	4.7
	顺乌头酸钠	4.9
	异柠檬酸钠	5.1

* \dot{Q}_{O_2} = 微升 O_2 /毫克干重/小时，内呼吸已扣除。反应系统：静息细胞悬液 1 毫升相当细胞干重 8.2 毫克，底物 25 微克分子，pH 7.5 M/15 磷酸缓冲液加至 2.5 毫升。中央小室加 20% KOH 0.2 毫升。实验 II 基本上与实验 I 同，只是用飢餓过的细胞，细胞干重为 13.7 毫克，pH 6.0 M/15 磷酸缓冲液加至 2.5 毫升。30°C，振速 100 次/分。

度最快，其次是丙酮酸、乙酸和草酰乙酸，氧化比较慢的是琥珀酸、乳酸、延胡索酸、 α -酮戊二酸和苹果酸。在实验 I 条件下因内呼吸较高，看不出三羧酸的氧化，故又将细胞在摇床上振荡，使内呼吸降低，同时还降低了氧化时缓冲液

的 pH 值 (6.0)，为了使有机酸较易透过细胞，在这种条件下即可看到柠檬酸、异柠檬酸及顺乌头酸的氧化(表 1、实验 II)。

(二) 无细胞提取液中三羧酸循环酶活力的测定

1. 缩合酶：按 Stern 和 Ochoa^[18] 的方法测定，在有 ATP、CoA 和 Mg^{++} 存在时，将乙酸盐和草酰乙酸盐与无细胞提取液共同保温，经过一定时间后取样，加三氯乙酸终止反应，离心除去蛋白质沉淀，分析上清液中柠檬酸含量，结果见图 1。在完全系统形成相当多量的柠檬酸；缺少 Mg^{++} 、ATP 及 CoA 时，柠檬酸量即大为降低，说明乙酸需先转变为乙酰 CoA 才能与草酰乙酸进行缩合反应，也说明无细胞提取液中有乙酸激活酶存在。

2. 异柠檬酸脱氢酶：按 Ochoa^[19] 方法测定，以 DL- 异柠檬酸为底物，在有 Mg^{++} 及 Mn^{++} 存在下，与 NADP 及无细胞提取液共同保温，测定 NADP 的还原，结果见图 2。NADP 的还原速度很快，可知无细胞提取液中有活跃的异柠檬酸脱氢酶存在，不加底物时无作用，以 NAD 替代 NADP 时无作用。

3. 顺乌头酸酶：无细胞提取液中如有顺乌头酸酶存在，则可将柠檬酸或顺乌头酸转变为异柠檬酸，后者可作为异柠檬酸脱氢酶的底物。因此即按上节方法，只是以柠檬酸或顺乌头酸代替异柠檬酸进行测定，结果见图 3。NADP 的还原说明有顺乌头酸酶存在。

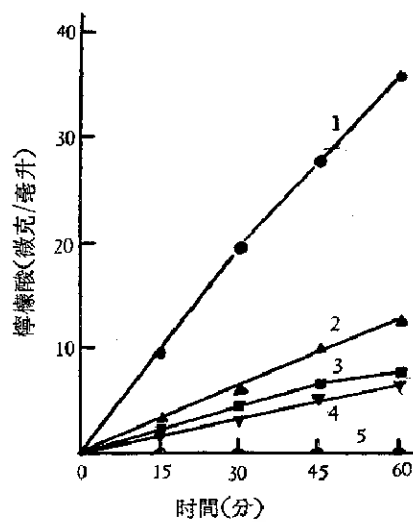


图 1 缩合酶的活力

反应系统：草酰乙酸钠 250 微克分子，乙酸钠 250 微克分子，CoA 2 微克分子，ATP 1.5 微克分子， $MgCl_2$ 2.5 微克分子，L-半胱氨酸 50 微克分子，0.4 M $NaHCO_3$ 1 毫升，M/15 磷酸缓冲液 pH 7.4 0.5 毫升，无细胞提取液含蛋白质 40 毫克。37°C 保温 60 分钟，每隔 15 分钟取 2 毫升，样品加 20% 三氯乙酸 1 毫升终止反应。然后离心，取上清液进行柠檬酸钠的定量分析。

- 曲线 1. 完全系统;
- 2. 无 $MgCl_2$;
- 3. 无 ATP;
- 4. 无 CoA;
- 5. 无底物。

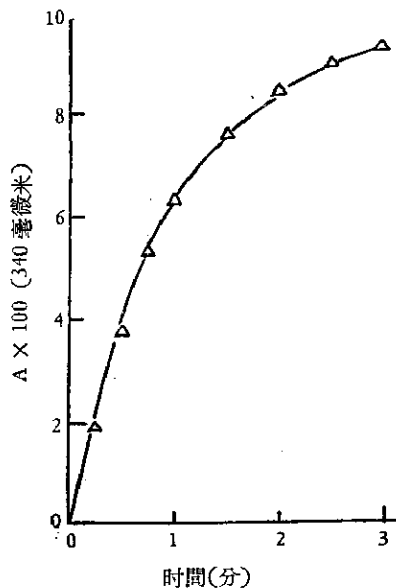


图 2 异柠檬酸脱氢酶

反应系统: *D,L*-异柠檬酸钠 2 微克分子, NADP 0.3 微克分子, $MnCl_2$ 1.5 微克分子, $MgCl_2$ 10 微克分子, 0.1M Tris 缓冲液 pH 7.4 0.5 毫升, 无细胞提取液蛋白 1.2 毫克。总体积为 2.82 毫升。最后加底物开始反应。

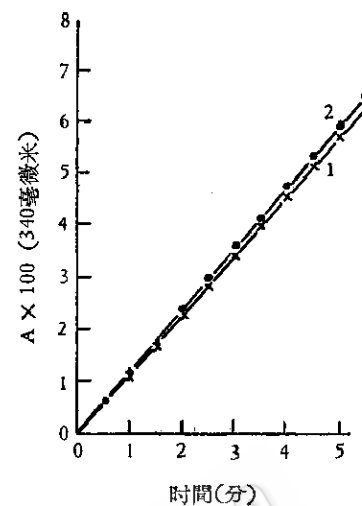
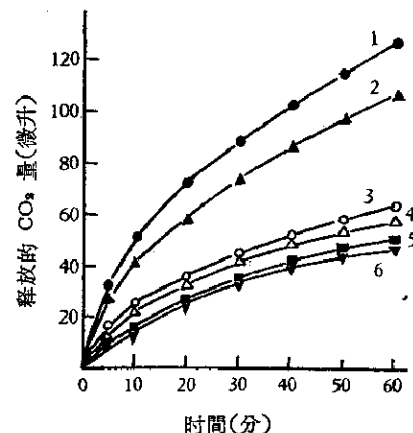


图 3 酸性头酸酶及异柠檬酸脱氢酶活力

反应系统同图 2, 只是以顺乌头酸及柠檬酸代替异柠檬酸
曲线 1. 柠檬酸钠;
2. 顺乌头酸钠。

4. α -酮戊二酸脱氢酶: 按 Kaufman 等^[20]的方法测定, 先用分光光度计法测定, 但加入 NAD 后光密度不但不上升反而稍微有点下降, Kaufman 等认为粗提取液中有 $NADH_2$ 氧化酶, 不能用分光光度法测定, 我们测出粗酶液中确实有 $NADH_2$ 氧化酶。 $NADH_2$ 的氧化速度为 1.56 微克分子/毫克蛋白·小时。因此我们又改用 Kaufman 等^[20] 测定粗提取液中该酶活力的方法, 即利用 α -酮戊二酸的歧化反应, 在有 NH_4^+ 存在下, α -酮戊二酸 1 分子氧化脱羧生成琥珀酸, 另 1 分子则还原氨基生成 L- 谷氨酸, 在有过量 L- 谷氨酸脱氢酶存在下, 测定 CO_2 的放出, 我们没有另外加入 L- 谷氨酸脱氢酶, 但也能测出有 CO_2 放出(图 4), 可知无细胞提取液中除有 α -酮戊二酸脱氢酶外, 尚有 L- 谷氨酸脱氢酶存在, α -酮戊二酸脱氢酶需 NAD 不能以 NADP 代替, CoA 及半胱氨酸也是必要的。 CO_2 释放速度为 0.23 微克分子/毫克蛋白·小时。远远低于 $NADH_2$ 的氧化速度, 因此用分光光度法测不出酶活力。

5. 琥珀酸脱氢酶: 琥珀酸脱氢酶用两种方法测

图 4 α -酮戊二酸脱氢酶的活力

反应系统: α -酮戊二酸钠 50 微克分子, NH_4Cl 50 微克分子, L- 半胱氨酸 10 微克分子, CoA 0.3 微克分子, pH 5.0 磷酸缓冲液 80 微克分子, 无细胞提取液含蛋白质 15.5 毫克, NAD (或 NADP) 0.3 微克分子, 总体积 2 毫升。30°C, 振速 100 次/分。

曲线 1. 完全系统; 4. 无半胱氨酸;
2. 无 CoA; 5. 加 NADP,-NAD;
3. 无 NAD; 6. 无底物。

定，一种方法为以甲烯蓝为受氢体，在有 KCN 存在下，测定氧的消耗量^[21]。在此试验中无细胞提取液的制备稍有不同，系根据 Linnane^[22]等采用蔗糖-EDTA-磷酸缓冲液，以保护腺粒体不受破坏；另外又试验了丙二酸钠的抑制作用，结果见图 5。可以看出丙二酸钠对琥珀酸脱氢酶有抑制作用，另一方法以高铁氯化钾为受氢体^[23]。用光电比色计在 420 毫微米波长观察光密度的变化，结果见图 6，也能测出琥珀酸脱氢酶活力。又此试验中所用无细胞提取液是用磷酸缓冲液提取的，未加蔗糖和 EDTA，看来，提取白地霉的琥珀酸脱氢酶，不一定要蔗糖和 EDTA 保护腺粒体。

6. 延胡索酸酶：按 Massey^[24] 方法测波长 300 毫微米处光密度的降低，也就是延胡索酸的减少，结果见图 7。在 3 分钟内光密度降低 0.06，相当减少延胡索酸 10 微克分子，表明有延胡索酸酶存在。

7. 苹果酸脱氢酶：参考 Ochoa^[25] 的方法，但改为以 DL-苹果酸为底物，测定 NAD 的还

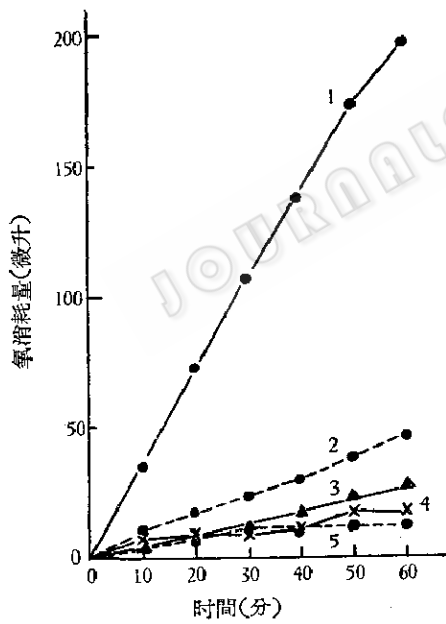


图 5 琥珀酸脱氢酶活力

反应系统：蔗糖-EDTA-磷酸缓冲液提取的无细胞提取液 1.3 毫升含蛋白质 25.3 毫克，琥珀酸钠 40 微克分子，KCN (中和) 30 微克分子，甲烯蓝 1 微克分子，0.5M 蔗糖-0.005M EDTA-0.1M 磷酸钾缓冲液 0.3 毫升，总体积 3 毫升。反应温度 30℃。振速 100 次/分。

- 曲线 1. 琥珀酸钠 40 微克分子；
2. 同上 + 丙二酸钠 10 微克分子；
3. 同上 + 丙二酸钠 20 微克分子；
4. 丙二酸钠 10 微克分子；
5. 无底物。

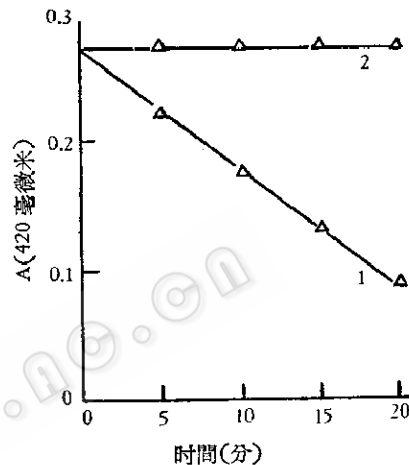


图 6 琥珀酸脱氢酶活力

反应系统：琥珀酸钠 100 微克分子，KCN (pH 7.0) 60 微克分子，高铁氯化钾 6 微克分子，0.1M pH 7.5 磷酸缓冲液 3.2 毫升，无细胞提取液蛋白 5.04 毫克，总体积 6 毫升。37℃。
曲线 1. 完全系统；2. 无琥珀酸钠。

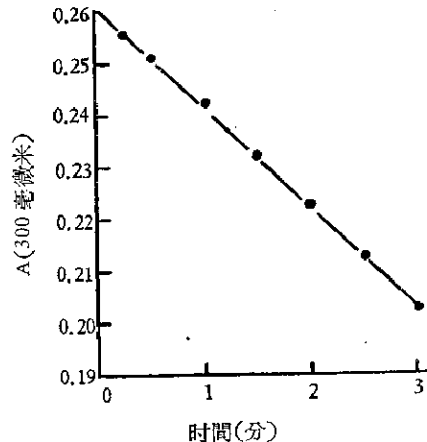


图 7 延胡索酸酶活力

反应系统：延胡索酸钠 30 微克分子，M/15 磷酸缓冲液 (pH 7.4) 2 毫升，无细胞提取液含蛋白质 1.07 毫克，总体积 3.0 毫升。

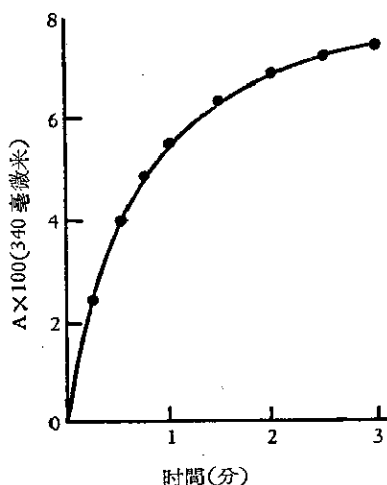


图 8 苹果酸脱氢酶

反应系统: pH 8.5 0.1M Tris 缓冲液 0.3 毫升, DL-苹果酸钠 30 微克分子, KCN (中和) 30 微克分子, MnCl₂ 1.5 微克分子, NAD 0.75 微克分子, 无细胞提取液蛋白 0.13 毫克, 总体积 2.9 毫升。

原, 结果见图 8。有苹果酸脱氢酶活力, 内作用很低, 可忽略。又如以 NADP 代替 NAD 时无反应, 在反应系统中加有 KCN, 可以抑制 NADH₂ 的氧化, 可见光密度的升高是由 NAD 被还原而引起的。

8. 苹果酸酶: 苹果酸酶在有 Mn⁺⁺ 及 NADP 存在下, 催化苹果酸氧化脱羧生成丙酮酸并放出 CO₂, 用瓦氏呼吸计来测定 CO₂ 的释放。结果见图 9。系统中除去 Mn⁺⁺ 时, 苹果酸酶活力大大降低, 以 NAD 代替 NADP 则测不出活力。

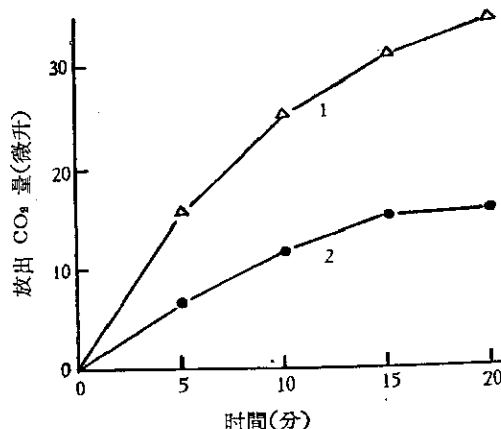


图 10 草酰乙酸羧化酶

反应系统: 在瓦氏呼吸计小瓶中含下列反应物(微克分子数): 乙酸缓冲液 pH 4.6 100; MnCl₂ 1; NADP 0.03; 草酰乙酸钠 50; 无细胞提取液蛋白 7 毫克。总体积 2.5 毫升。25°C。曲线 1. 完全系统; 2. 无酶液。

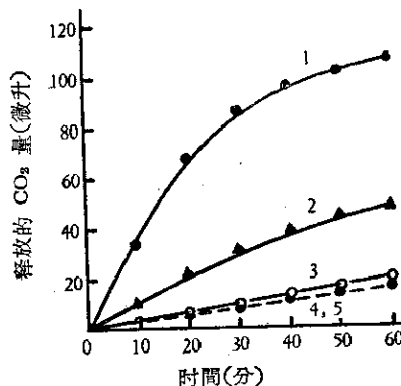


图 9 苹果酸酶的活力

反应系统: DL-苹果酸钠 100 微克分子, MnCl₂ 2.5 微克分子, NADP(或 NAD) 0.3 微克分子, pH 5.0 磷酸缓冲液 80 微克分子, 无细胞提取液含蛋白 7.6 毫克, 总体积 2 毫升。30°C, 振速 100 次/分。

- 曲线 1. 完全系统;
- 2. -MnCl₂;
- 3. -NADP;
- 4. +NAD, -NADP;
- 5. -底物。

9. 草酰乙酸羧化酶: 按 Ochoa^[26] 方法用瓦氏呼吸计测定由草酰乙酸释放的 CO₂, 结果见图 10。可知有草酰乙酸羧化酶活力, 无酶液时草酰乙酸有较弱的自然脱羧作用。

(三) 乙醛酸循环酶活力的测定

1. 异柠檬酸酶: 按 Olson^[16] 的方法进行测定, 异柠檬酸酶催化异柠檬酸分解为琥珀酸及乙醛酸, 在有氨基脲存在下(可固定乙醛酸), DL-异柠檬酸与酶液共同保温, 经过一定时间取样, 加三氯乙酸沉淀蛋白, 然后分析上清液中的乙醛酸含量。结果见图 11。可知有异柠檬酸酶存在。

2. 异柠檬酸酶反应产物的光谱鉴定: 将异柠檬酸酶反应产物与已知的丙酮酸, α-酮戊二酸及乙醛酸均作成 2,4-二硝基苯腙, 比

較其光譜，由圖 12 可以看出反應產物與標準乙醛酸相似，最高吸收峯在 450 毫微米，但曲線形狀不完全一致，可能是因反應產物不夠純所造成的，但这并不妨礙乙醛酸的定量測定，因为乙醛酸是利用熱處理顏色消失的性質來定量的。

3. 苹果酸合成酶：按 Kornberg 等^[9]的方法測定，在有 CoA、ATP 及 Mg⁺⁺存在下，將酶液與乙醛酸及乙酸共同保溫，經一定時間後測定形成的草果酸，結果見圖 13。完全系統有苹果酸生成，可知苹果酸合成酶存在。

三、討 論

以上結果為用葡萄糖培養的菌體進行的，我們同時用木糖培養的菌體也進行了測定，也同樣能測出各酶活力。

完整靜息細胞雖然能氧化各種三羧酸循環的中間體，但氧化的速度比起乙醇、乙酸及丙酮酸來則甚低，可能是由於透過障礙造成的，我們嘗試用干冰或液体空氣處理菌體以改變細胞的透過性。但結果未

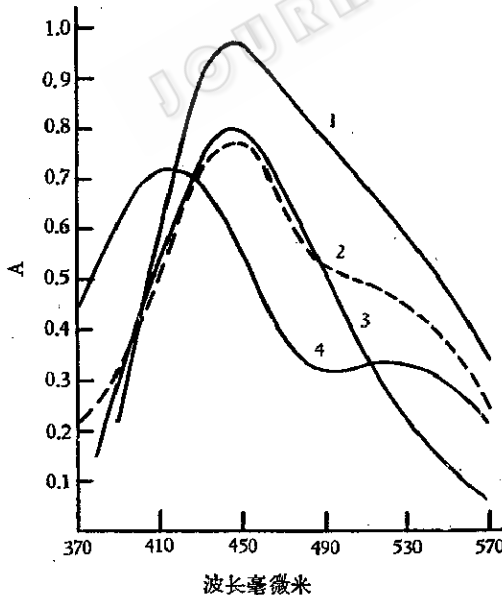


圖 12 异檸檬酸酶催化 *DL*-异檸檬酸反應產物的吸收光譜。反應系統同圖 11。

曲線 1. 反應產物；2. 丙酮酸；3. 乙醛酸；4. α -酮戊二酸。以上均为 2,4-二硝基苯腙衍生物。

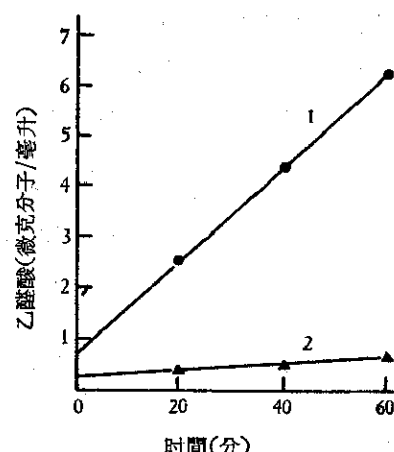


圖 11 异檸檬酸酶活力

反應系統：*DL*-異檸檬酸鈉 60 微克分子，氨基脲 50 微克分子，無細胞提取液含蛋白為 36.3 毫克，總體積 7.5 毫升，反應不同時間取 1.5 毫升，加 20% 三氯乙酸 1.5 毫升，離心，取上清液 2 毫升測定乙醛酸。

曲線 1. 完全系統；
2. 无 *DL*-異檸檬酸鈉。

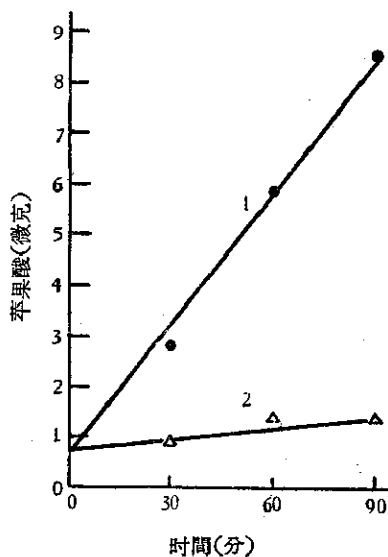


圖 13 苹果酸合成酶活力

反應系統：pH 7.6 0.5M 磷酸鉀緩衝液 2.4 毫升，MgCl₂ 40 微克分子，谷胱甘肽 20 微克分子，CoA 0.64 微克分子，ATP 80 微克分子，乙醛酸鈉 50 微克分子，乙酸鉀 120 微克分子，無細胞提取液蛋白 18 毫克，總體積 8 毫升。30°C。定期取樣 2 毫升加等體積 20% 三氯乙酸，離心，取上清液 1 毫升測定苹果酸含量。

曲線 1. 完全系統；2. 无底物。

能提高对三羧酸的氧化速度。現在已經知道，底物的透過細胞是通過特殊的所謂“透過酶”(permeases)來控制的，并且“透過酶”有適應酶的特性^[27]。在三羧酸上培養的細胞則能氧化該三羧酸，據此，我們也曾用檸檬酸培養的白地霉作呼吸試驗，但亦未能提高對三羧酸的氧化速度。

白地霉無細胞提取液中測出了三羧酸循環的一系列的酶活力及乙醛酸循環的兩個關鍵的酶活力，可知三羧酸循環與乙醛酸循環均為白地霉的末端呼吸途徑。

四、摘要

1. 白地霉完整靜息細胞氧化乙醇、乙酸、丙酮酸及草酰乙酸的速度很高，對其他三羧酸循環各酸如：琥珀酸、延胡索酸、 α -酮戊二酸、苹果酸、檸檬酸、順烏頭酸及異檸檬酸也能氧化，但速度甚低。
2. 在白地霉無細胞提取液中測出了三羧酸循環中以下各種酶活力：檸檬酸結合酶、異檸檬酸脫氫酶、順烏頭酸酶、 α -酮戊二酸脫氫酶、琥珀酸脫氫酶、延胡索酸酶、苹果酸脫氫酶、苹果酸酶、草酰乙酸羧化酶等，並間接得知有乙酸激活酶及L-谷氨酸脫氫酶存在。
3. 在白地霉無細胞提取液中測出了乙醛酸循環的兩個關鍵的酶即異檸檬酸酶及苹果酸合成酶。
4. 由以上結果可知白地霉可利用三羧酸循環及乙醛酸循環作為末端呼吸途徑。

参考文献

- [1] Kornberg, H. L.: *Ann. Rev. Microbiol.*, **13**:49, 1959.
- [2] Ramakrishnan, C. V.: *Enzymologia*, **17**:169, 1954.
- [3] Strauss, B. S.: *Arch. Biochem. Biophys.*, **55**:77, 1955.
- [4] Goldschmidt, E. P., Yall, I., & Koffler, H.: *J. Bacteriol.*, **72**:436, 1956.
- [5] Bonner, B. A. & Machlis, L.: *Plant Physiol.*, **32**:291, 1957.
- [6] Moses, V.: *J. Gen. Microbiol.*, **13**:235, 1955.
- [7] Mickelson, M. N. & Schuler, M. N.: *J. Bacteriol.*, **65**:297, 1953.
- [8] Kornberg, H. L., & Krebs, H. A.: *Nature*, **179**:988, 1957.
- [9] Kornberg, H. L., & Madsen, N. B.: *Biochim. Biophys. Acta*, **24**:651, 1957.
- [10] 張樹政、方一澄、楊廉婉：白地霉的戊糖代謝，2. 木糖和葡萄糖培養菌球糖代謝的比較。（待發表）
- [11] 張樹政、黎膏翔、王惠蓮：生物化學與生物物理學報，**2**:238, 1962。
- [12] Lewis, K. F., & Weinhouse, S.: *Methods in Enzymology*, Vol. 3., p. 269. S. P. Colowick & N. O. Kaplan (Eds). Academic Press 1957.
- [13] Deutsch, D. H. & Phillips, R. E.: *ibid.*, p. 424.
- [14] Lein, R. & Braver, R. W.: *J. Lab. clin.* **38**:474, 1951.
- [15] 仓富一兴、細谷宪政：生化学，**27**:72, 1955.
- [16] Olson, J. A.: *J. Biol. Chem.* **234**:5, 1959.
- [17] Hummel, J. P.: *ibid.*, **180**:1225, 1949.
- [18] Stern, J. R. & Ochoa, S.: *ibid.*, **179**:491, 1949.
- [19] Ochoa, S.: *ibid.*, **174**:133, 1948.
- [20] Kaufmann, S., Gilvarg, C., Cori, O. and Ochoa, S.: *ibid.*, **203**:869, 1953.
- [21] Slater, E. C.: *Biochem. J.*, **45**:1, 1949.
- [22] Linnane, A. W. & Still, J. L.: *Arch. Biochem. Biophys.* **59**:383, 1955.
- [23] Slater, E. C. & Bonner, W. D.: *Biochem. J.*, **52**:185, 1952.
- [24] Massey, V. L.: *ibid.*, **51**:490, 1952.
- [25] Ochoa, S.: *Methods in Enzymology*, Vol. 1. p. 735.
- [26] Ochoa, S.: *ibid.*, p. 739.
- [27] Cohen, G. N., & Monod, J.: *Bacteriol. Revs.*, **21**:169, 1957.

OXIDATIVE METABOLISM IN *GEOTRICHUM CANDIDUM*

CHANG SHU-CHENG AND YANG LIEN-WAN

(Institute of Microbiology, Academia Sinica, Peking)

(1) Intact resting cells of *Geotrichum candidum* readily oxidized ethanol, acetate, pyruvate and oxalacetate, but other intermediates of the TCA cycle, such as succinate, fumarate, α -ketoglutarate, malate, citrate, cis-aconitate and isocitrate were slowly oxidized.

(2) The following enzymes or enzyme systems of the TCA cycle were detected in cell-free extract of *Geotrichum candidum*: condensing enzyme, isocitric dehydrogenase, α -ketoglutaric dehydrogenase, succinic dehydrogenase, fumarase, malic dehydrogenase, "malic" enzyme, oxalacetic carboxylase, and the existance of the acetate activating enzyme and L-glutaric dehydrogenase was also indicated.

(3) The two key enzymes of glyoxalate cycle, isocitratase and malate synthetase were also detected in cell-free extract of this mold.

(4) From the above results, it was obvious that *Geotrichum candidum* could use the TCA cycle and the glyoxalate cycle as the pathways of terminal respiration.